深層学習による Si 細線-トポロジカル導波路間カプラの結合効率向上構造の設計 °坂本 樹¹, 雨宮 智宏 ^{1,2}, 岡田 祥¹, 各務 響¹, 西山 伸彦 ^{1,2}, 胡 暁³ 東京工業大学 工学院 電気電子系¹, 科学技術創成研究院 未来産業技術研究所², WPI-MANA, National Institute for Materials Science ³

°I. Sakamoto¹, T. Amemiya^{1,2}, S. Okada¹, H. Kagami¹, N. Nishiyama^{1,2}, X. Hu³

¹ Department of Electrical and Electronic Engineering, Tokyo Institute of Technology

² Institute of Innovative Research (IIR), Tokyo Institute of Technology

³ WPI-MANA, National Institute for Materials Science

E-mail: sakamoto.i.ab@m.titech.ac.jp

1. はじめに

トポロジカルフォトニック結晶の所望の要求に対する構造最適化手法として,結晶を構成する単位胞すべてのパラメータを個別に設計することは,計算コストの面から現実的とは言えない.その解決策として,近年盛んに行われている,機械学習を用いて円孔フォトニック結晶の配置を決定するという手法のトポロジカルフォトニック結晶への適応を検討する[1,2].本報告では, Si 細線からトポロジカルフォトニック結晶導波路への結合部分に対して深層学習を用いた構造決定を行った.

2. 深層学習へ向けた準備

本研究において用いるトポロジカルフォトニ ック結晶の単位胞をFig. 1(a)に示す. トポロジ カルフォトニック結晶における単位胞内の設 計パラメータは、正三角孔の一辺の長さLと、 単位胞の中心から正三角孔の重心までの距離R, また単位胞の周期Periodの3つで構造が決定さ れる. 今回は波長1.55 μ mで動作するように、 初期設計パラメータ(L, R)[nm]をTrivial構造は (281, 231), Topological構造は (284, 264), Period を730 nmとした. 解析にはFig. 1(b)のように, トポロジカル伝送路とSi細線導波路をバットジ ョイントで結合させた構造を用いた. 結合部分 付近の 6×6 単位胞の領域において、まずRを深 層学習に用いるパラメータとした. 結合部分付 近における各単位胞に対するRは、Trivial、 Topologicalの値を基準値としてガウス分布で変 化させた. この構造を入力側と出力側で線対象 に配置した.解析には2D-FDTD法(Finite difference time domain)法を用い、結合部分付近 における構造に対する出力|Power|の測定を試 行回数6000回で行った.

3. 学習結果

2D-FDTD 法によって集めた構造対出力の関係を持つデータセットを用いてニューラルネットワークをトレーニングした。その学習結果であるニューラルネットワークによる予測出力値|Power|_{NN}と FDTD 法による出力値|Power|_{FDTD}との比較結果を Fig. 2 に示す。相関係数が 0.943となり、構造に対する出力の予測が機能していることが示された。また、データセットの中で最も高い|Power|(=0.365)を持つ構造を基本構造とし、基本構造よりも高い出力目標値に対して学習したニューラルネットワークを用いて、構造パラメータ空間を探索することにより、

|Power|_{target} を満たす構造を導出した. この設計 構造について 2D-FDTD 法による解析を行った ところ, |Power|=0.374 となり, 基本構造よりも 大きな値となった. (Fig. 3)

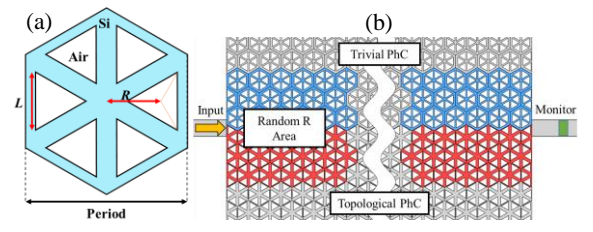


Fig. 1 (a) Unit cell (b) coupling structure used for simulation

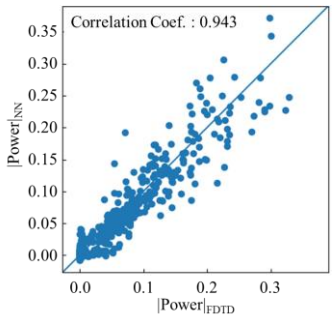


Fig. 2 Correlation between |Power|FDTD and |Power|NN

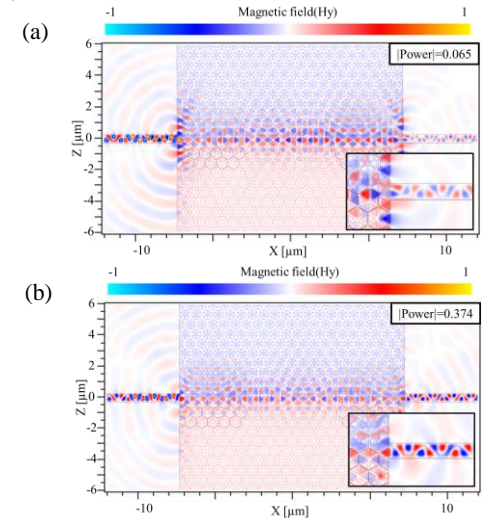


Fig. 3 Mode distribution by FDTD method.

- (a) basic structure
- (b) structure determined by deep learning.

謝辞: 本研究は, JST CREST (JPMJCR18T4), JSPS 科研費 (#19H02193, #20H02200, #21J14822), MIC/SCOPE (#182103111)の援助により行われた.

参考文献

- [1] R. Li, et al. Optical Materials Express 11 (7) 2122-2133. (2021).
- [2] T. Asano & S. Noda, Nanophotonics, 8(12) 2243-2256. (2019).